

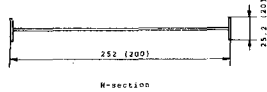
## 構造基本断面の空力振動に及ぼす乱流効果

京都大学工学部 正員 白石成人  
 京都大学工学部 正員 白土博通  
 川崎重工業 正員○松田一俊

京都大学工学部 正員 松本勝  
 京都大学工学部 学生員 松村修一

## 1. まえがき

本研究は構造基本断面(1:10 H型断面, 1:2 矩形断面)(Fig. 1)について一様流中および格子乱流中ににおけるフラッタ自励空気力を計測し、両者の差異を議論し、さらに乱流中の等価Wagner関数と周期変動気流中の等価Kissner関数とを比較・検討し構造物のフラッタに及ぼす乱流効果の評価もござより合理的なパラメタリング・振動の解析法に関して考察するものである。



## 2. 自励空気力と強制空気力

R.H. Scanlan<sup>1)</sup>によれば非定常空気力係数  $A_2^*, H_1^*$  は式(1), (3)のように表わされ空力インディシャル応答関数(等価Wagner関数)と式(2), (4)のように表わされると仮定すると風洞実験より得られる  $H_1^*, A_2^*$  をパラメータ  $a_1, \dots, c_6$  を用いて近似することによりパラメータを決定し等価Kissner関数を求むことができる。

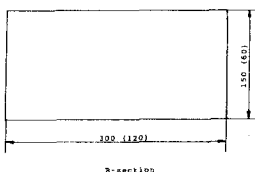


Fig. 1

$$\left\{ \begin{array}{l} A_2^* = C_5 K^3 \left( \frac{C_6}{K^2} - \frac{C_1 C_2}{1+C_2^2 K^2} - \frac{C_3 C_4}{1+C_4^2 K^2} \right) \left( K = \frac{1}{R_e} \right) \\ \text{換算振動数} \end{array} \right. \quad (1)$$

$$\left\{ \begin{array}{l} H_1^* = C_5 K \left( 1 + \frac{C_1}{1+C_2^2 K^2} + \frac{C_3}{1+C_4^2 K^2} \right) \\ \text{無次元時間} \end{array} \right. \quad (2)$$

$$\left\{ \begin{array}{l} H_1(\tau) = 1 + C_1 e^{C_2 \tau} + C_3 e^{C_4 \tau} \\ (3) \end{array} \right.$$

$$\left\{ \begin{array}{l} A_2(\tau) = (A_2^*)^{1/2} e^{C_5 \tau} + C_6 e^{-C_5 \tau} \\ (4) \end{array} \right.$$

次に変動風速から変動空気力に変換する関数として4つの未知パラメータ  $a, b, c, d$  を含む2つの指數関数の和で式(5)のように空力インディシャル応答関数  $\eta(\tau)$  を表す。空力インディシャル応答関数  $\eta(\tau)$ 、空力システム関数  $\phi(t)$  及びその絶対値であるゲイン特性  $|\phi(t)|$  は次式で表わされる。

$$\eta(\tau) = (a e^{b \tau} + c e^{-d \tau}) \quad (5)$$

$$\phi(t) = \frac{c}{b} + \frac{c}{d} - \frac{a}{b} e^{-b t} - \frac{c}{d} e^{-d t} \quad (6)$$

$$\phi(t) = \left\{ \frac{ab}{b^2 + \xi^2} + \frac{cd}{d^2 + \xi^2} \right\} - i \left\{ \frac{a\xi}{b^2 + \xi^2} + \frac{c\xi}{d^2 + \xi^2} \right\} \quad (7)$$

$$|\phi(t)| = \sqrt{\left( \frac{(AD-A-D)^2 \xi^2 + D^2}{(1+\xi^2)(D^2+\xi^2)} \right)^{1/2}} \quad (8)$$

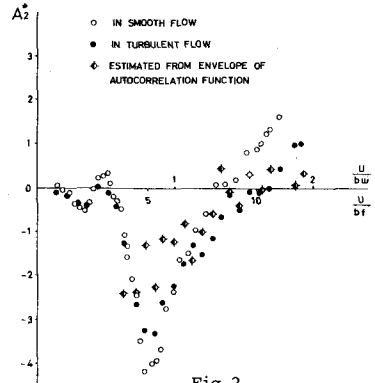


Fig. 2

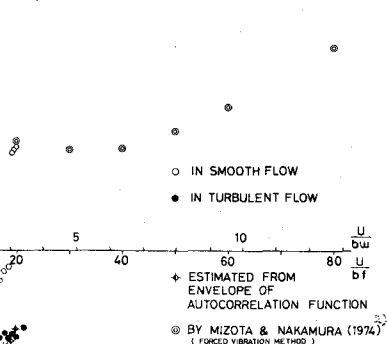


Fig. 3

ここで風洞実験よりゲイン特性を求めて未知パラメータを決定することにより空力インディシャル応答関数(等価Küssner関数)を求めることができる。

### 3. 実験結果および考察

一様流中、格子乱流中および実測応答の自己相関関数の包絡線から得られた  $A_2^*$  値(1:10 H型),  $H^*$  値(1:2矩形)をそれぞれ Fig. 2, 3 に示す。自己相関関数の包絡線から求めた  $A_2^*$  値,  $H^*$  値は乱流中で得られた  $A_2^*$  値,  $H^*$  値とそれより一致をみていく。 $A_2^*$  値,  $H^*$  値とともに乱れによって安定化の方向にあることがわかる。すなわち乱れによって自励空気力が低減されると思われる。Fig. 4 に A: 一様流中の  $A_2^*$  値(静的空気力係数勾配  $dC_{dA}/dx$ : 一様流中), B: 乱流中の  $A_2^*$  値( $dC_{dA}/dx$ : 乱流中), C: 乱流中の  $A_2^*$  値( $dC_{dA}/dx$ : 一様流中)の 3通りの等価 Wagner 関数および周期変動気流中での等価 Küssner 関数を示す。A, B, C を比較すると乱れによつて負のピークが小さくなることから自励振動を生じさせると自励空気力は風の乱れによって低減されるといふよう。Fig. 5 に一様流中の  $H^*$  曲線から得られる等価 Wagner 関数と 3種類の等価 Küssner 関数を示す。以上の検討より揚力, ピッキングモーメントと対象とする空気力は異なるが従来の研究において 1:10 H型断面で等価 Wagner 関数と等価 Küssner 関数とが、丸く元においてほぼ等しいといふ結果のが 1:2 矩形断面についてもあることはなることがあるようである。

### 4. ままで

気流中の乱れによつて 1:10 H型断面, 1:2 矩形断面のそれぞれの非定常空気力係数  $A_2^*$  値,  $H^*$  値はそれぞれの絶対値で低減されることがわかった。静的空気力係数を求める場合乱れのスケール, 乱れの強さなどを変化させ、これらが乱れの影響をどの程度受けるかの定量的な評価や渦励振動について乱れの影響の評価を行なうなど今後の課題といふよう。

### [参考文献]

(1) R.H.Scanlan, J.G.Beliveau and K.S.Budlong; "Indicial Aerodynamic Function for Bridge Decks", Journal of the Engineering Mechanics Division, 1974, pp.657-672.

(2) 溝田武人, 中村泰治; 「矩形断面柱の非定常揚力と後流の速度変動について」, 構造物の耐風性に関する第3回シンポジウム論文集, 1974年. (3) 加藤 隆; 「長大橋梁のガスト空力インディシャル応答に関する基礎的研究」, 京都大学修士学位論文, 1980年.

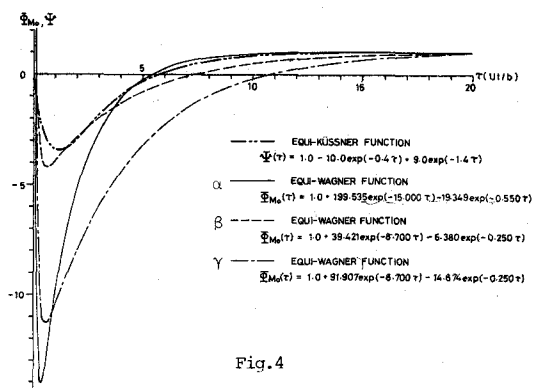


Fig. 4

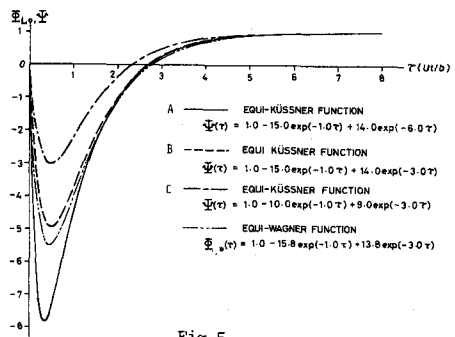


Fig. 5